

نقش نانوakkسیدهای فلزی و نافلزی در بهبود ویژگی فیزیکی داروها برای فرمولبندی دارو

سمیه گل‌صنم‌لو^۱ و علی‌اکبر طرانی^{۲*}

۱. دانشجوی دکترای شیمی معدنی، پژوهشگاه شیمی و مهندسی شیمی ایران، تهران، ایران.

۲. دانشیار شیمی معدنی، پژوهشگاه شیمی و مهندسی شیمی ایران، تهران، ایران.

دریافت: فروردین ۱۴۰۲ بازنگری: خرداد ۱۴۰۲ پذیرش: خرداد ۱۴۰۲



10.30495/JACR.2023.1984362.2116



20.1001.1.27835324.2023.17.1.1.9

چکیده

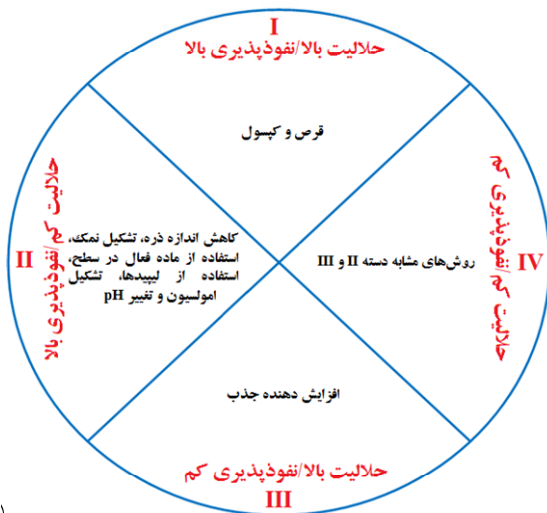
در این مقاله مروری به نقش ترکیب‌های متلخلخل اکسیدی معدنی به عنوان حامل داروها برای بهبود ویژگی فیزیکی داروها پرداخته شده است. حلالیت و نفوذپذیری داروها در دستگاه گوارش از عوامل تعیین‌کننده فراهمی‌زیستی خوارکی داروها است. همواره داروهایی وجود داشته‌اند که به منظور تهییه یک فرمول مناسب خوارکی، نیاز به بهینه‌سازی حلالی آن‌ها بوده است. امروزه در نتیجه پژوهش‌های گسترده و پیدایش داروهای جدید، تعداد داروهایی که مشکل حلالیت دارند، افزایش یافته‌اند مانند برخی داروهای قلبی که در طبقه دوم داروها قرار دارند و حلالیت ناچیز دارند. حلالیت پایین این نوع داروها موجب ایجاد محدودیت درمانی شده است، زیرا برای افزایش تاثیرگذاری این داروها مجبورند چند بیشتری از دارو را تجویز کنند که موجب می‌شود دارو در خون تجمع یابد و در دیواره رگ‌های خونی رسوب کند. بنابراین، داروها برای بهبود عملکرد خود نیاز به حامل دارویی دارند. سامانه‌های دارورسانی شامل نانوذره‌های زیست تخریب‌پذیر بسپار، ریشال‌های بسپار، نانوذره‌های جامد، نانولیپوزوم‌ها، دندریمرها، نانوذره‌های مغناطیسی و نقاط کوانتومی از دهه‌های پیشین برای این منظور استفاده شده‌اند، ولی در چند سال اخیر، استفاده از اکسیدهای فلزی و نافلزی در سامانه‌های دارورسانی نوین موردنوجه دانشمندان قرار گرفته است. این ترکیب‌های متلخلخل معدنی در مقایسه با سایر ترکیب‌های متدائل، می‌توانند مزایای بسیاری شامل بهبود حلالیت و پایداری، امکان واپیش چند مصرفی دارو، واپیش سینتیک رهایش دارو، رساندن دارو به بافت هدف، کاهش عوارض جانبی، افزایش زیست سازگاری دارو و غیره داشته باشند. بنابراین، استفاده از سامانه‌های نوین دارورسانی بر پایه نسل جدید اکسیدهای فلزی و نافلزی برای بهبود حلالیت، نفوذپذیری و زیست‌سازگاری داروها، گامی مهم و پایه‌ای در فرمولبندی داروها است که در این مقاله بررسی شده است.

واژه‌های کلیدی: دارورسانی، اکسیدهای فلزی و نافلزی، حلالیت، زیست‌سازگار، آلومینا.

عامل‌های سطحی، امکان تغییر در اندازه سطح و قطر حفره، امکان تغییر در قدرت اسیدی و بازی سطح، به صرفه‌بودن ستترها و قابلیت تجاری سازی ستترها بسیار موردنظر قرار گرفته‌اند. در این مقاله مروری به معرفی مقاماتی در این حوزه جدید پرداخته شده است.

طبقه‌بندی گروه‌های دارویی (BCS^۱)

در کامل از ویژگی فیزیکی و شیمیایی داروها کمک شایان ذکری به شناخت داروها می‌کند. در BCS داروها برپایه حلایت و نفوذپذیری به چهار گروه متفاوت تقسیم می‌شوند که در شکل ۱ طرحواره‌ای کلی از آن نشان داده شده است [۸].



شکل ۱ طبقه‌بندی داروها برپایه حلایت و نفوذپذیری

۱- حلایت بالا/نفوذپذیری بالا
مانند: متوبروپول، بروپریانولول، و تئوفیلین بسیار محلول هستند و هیچ نوع محدودیت خوراکی ندارند و به شکل قرص و کپسول موجود هستند.

مقدمه
زمانی که داروهای خوراکی به شکل جامد (قرص یا کپسول) تجویز می‌شوند، ابتدا باید در مایعات گوارشی آزاد و حل شوند تا بتواند جذب شوند. هر چند سرعت بازشدن قرص یا کپسول از اهمیت ویژه‌ای در جذب دارو برخوردار است. داروهایی که سرعت احلال بالایی دارند، به صورت محلول در دستگاه گوارش حضور دارند و سرعت جذب آن‌ها بیشتر به توانایی عبور دارو از سدهای غشایی بستگی دارد. اگر سرعت احلال دارو به لحاظ ویژگی‌های فیزیکو‌شیمیایی پایین باشد، در این صورت فرایند احلال، مرحله محدود‌کننده جذب و یکی از مهم‌ترین عوامل تعیین‌کننده سرعت جذب در داخل بدن خواهد بود و فرایند احلال کننده مرحله است که دارو برای آزادشدن از شکل دارویی و ورود به داخل جریان خون طی می‌کند [۱ و ۲]. روش‌های داروسانی جدید، شرکت‌های داروسازی را قادر می‌سازد تا فرمول جدیدی را توسعه داده و داروهای قدیمی را دوباره طراحی کند که این موضوع می‌تواند اثرات جانبی دارو را کاهش دهد. سامانه‌های داروسانی جدید، ممکن است استفاده از سامانه‌های شیمیایی یا زیستی خاصی را که پیش از این به خاطر سمیت یا به خاطر ناتوانی در هدایت آن استفاده نمی‌شد، امکان پذیر کند. برای مثال، در آزادسازی داروهای شیمی درمانی برای تومورها، هدف‌گیری مستقیم دارو که با کاهش اثرات جانبی سامانه‌ای همراه است، امکان پذیر شده است.

تاکنون روش‌های به کاررفته برای دستیابی به آزادسازی واپاپیش شده دارو، بر پایه استفاده از نانوساختارهای زیستی، بسپارهای ستتری و طبیعی (زیست‌تحریب‌پذیر و زیست تحریب‌ناپذیر) [۳] مورد توجه بوده است و در سال‌های اخیر، ترکیب‌های خفره‌دار معدنی از جمله اکسیدهای فلزی و نافلزی مانند [۴] Al_2O_3 ، [۵] SiO_2 ، [۶] TiO_2 ، اکسیدهای مختلط [۷] و غیره به علت داشتن ویژگی‌هایی مانند نانوبودن، پایداری شیمیایی، پایداری گرمایی، زیست‌سازگاری، قابلیت اصلاح

1. Biopharmaceutics classification system

سال هفدهم، شماره ۱، بهار ۱۴۰۲

نشریه پژوهش‌های کاربردی در شیمی (JARC)

اهمیت فرمول بندی داروها با اکسیدهای فلزی و نافلزی اطلاع از رفتار شیمیایی و فیزیکی ترکیب‌های دارویی، نقش بسیار مهمی در غربالگری و جداسازی داروها بر پایه حلالیت در آب دارد [۱۸]. در سال‌های اخیر کشف داروهای کم محلول به طور چشمگیری افزایش یافته است و تا امروز حدود ۷۰٪ از داروها کم محلول هستند [۱ و ۲]. مشکلاتی در راستای حلالیت کم داروها ایجاد می‌شود که برای مثال، می‌توان به زیست‌سازگاری پایین داروهای خوراکی، افزایش مصرف دارو در روز و در نهایت رسیدن به سطح سمی داروی مصرفی و کاهش سازگاری بدن بیمار با دارو اشاره کرد [۱۹]. مشکل دیگری که کم محلول بودن دارو به وجود می‌آورد، فرمول بندی دارو است. مهم‌ترین محدودیت این نوع داروها (داروهای کم محلول) در محیط‌های آزمایشگاهی این است که در محیط‌های زیستی بدن، بدون آنزیم حل نمی‌شوند و نتیجه‌های به دست آمده را دچار خطا می‌کنند. همچنین، موجب کاهش کیفیت نتیجه‌های به دست آمده از روند رهایش دارو در بدن موجود زنده می‌شوند. روش‌های نوینی برای افزایش حلالیت این داروها بررسی شده که شامل تغییر در ساختار شیمیایی دارو و یا افزایش یک گروه قطبی به ساختار مولکول دارویی در مرحله بهینه سازی دارو است [۲۰]. مقدار نفوذپذیری دارو به طور مستقیم به مقدار حلالیت دارو بستگی دارد. در نتیجه با افزایش حلالیت دارو، می‌توان مقدار نفوذپذیری را نیز تغییر داد. به طور روشی می‌توان افرون بر چیرگی بر مشکلات و محدودیت‌های ناشی از کم محلول بودن، مقدار نفوذ و جذب دارو را به صورت چشمگیری افزایش داد [۲۱].

معادله نویز-ویتنی^۱، عوامل مؤثر بر سرعت اتحال را سطح مؤثر دارو، ضریب نفوذ، ضخامت لایه انتشار، اشباع شدگی محلول دارویی، مقدار داروی حل شده در محلول، و مقدار حجم کل محلول می‌داند [۱۹]. برای افزایش حلالیت داروهای طبقه دوم کوشش‌های دیگری نیز، نظیر اصلاح بلوری

طبقه -۲- حلالیت کم/نفوذپذیری بالا مانند: سیکلوسپورین، گریزئوفولوین، ایتراکونازول و سلکوکسیب که زیست‌سازگاری آن‌ها وابسته به مقدار حلالیت‌شان دارد، به طوری که تغییر کوچکی در افزایش حلالیت موجب تغییر چشمگیری در افزایش مقدار زیست‌سازگاری می‌شود [۹].

طبقه -۳- حلالیت بالا/نفوذ پذیری کم مانند: آتنولول، سایمتیدین، و متفورمین که این نوع از داروها برای نفوذ به غشاء دستگاه گوارش ناتوان هستند. در نتیجه تأثیر درمانی بسیار کمی دارند. افزایش نفوذپذیری به کمک اسید چرب، نمک‌های صفرایی و مواد قندی انجام می‌شود [۱۰].

طبقه -۴- حلالیت کم/نفوذ پذیری کم از آنجایی که هر دو عامل حلالیت و نفوذپذیری کم است، عواملی مانند مقدار اسید معده، مدت زمان خالی بودن معده نقش بسیار مهمی در مقدار جذب دارند.

اکسیدهای فلزی و نافلزی
به دلیل اهمیت روز افزون کاربرد سامانه‌های حمل دارو، پژوهش‌ها بر توسعه سامانه‌هایی تمرکز شده است که به لحاظ ساختار پایدار بوده و قادر به حمل حجم زیاد دارو بدون مشکل رهایش زود هنگام به بافت‌های هدف هستند. ازین‌رو، در سال‌های اخیر نانوذره‌های معدنی متخلف به دنبال کاربردهای قابل توجه در رهایش دارو به عنوان ابزار مناسب دارورسانی شناخته شده‌اند [۱۱]. نانوذره‌ها مزایایی مانند عدم نیاز به شرایط ویژه و امکان تهیه راحت آن‌ها با اندازه، شکل و تخلخل موردنظر را دارند. افزون بر آن، سطوح آن‌ها را می‌توان به سادگی با گروههای عاملی اصلاح کرد [۱۲]. همچنین، مولکول‌های دارویی بارگذاری شده در آن‌ها به صورت مؤثری در برابر تغییرهای القا شده با pH و دما، محافظت می‌شوند. این ذره‌ها شامل سیلیکا (SiO_2)، تیتانیا (TiO_2), آلومینا (Al_2O_3) و اکسیدهای مختلط هستند و به دلیل سازگاری‌شان با سامانه‌های زیستی شناخته شده‌اند [۵ تا ۹].

1. Noyes Whitney equation

دارورسانی برایه نانوذره‌های آلومینا

آلومینا فازهای متفاوتی دارد که شناخته شده‌ترین و پرکاربردترین ترکیب آن، گاما-آلومینا (آلومینا) است. آلومینا می‌تواند در pH های متفاوت رفتارهای اسیدی یا بازی از خود نشان دهد. در نقطه ایزوالکتریک (IEP) خود که در pH های کمی بالاتر از ۸ رخ می‌دهد به شکل خنثی است. در pH های اسیدی تر یک پروتون گرفته و ویژگی تبادل آئیون پیدا می‌کند و در pH های بالاتر از نقطه ایزوالکتریک بار منفی گرفته و به مبادله کننده کاتیون تبدیل می‌شود. گروههای هیدروکسیل آن بسته به این که در چه محیطی (اسیدی یا بازی) قرار گیرند، رفتار آریختی از خود نشان می‌دهند [۳۴ و ۳۵]. این ترکیب از سطح ویژه به نسبت بالا، پایداری گرمایی-شیمیایی مطلوب، نقطه ذوب بالا و مقاومت مکانیکی خوبی برخوردار است و از آن می‌توان در کاربردهای صنعتی به عنوان پایه کاتالیست (برای مثال، پایه کاتالیست‌های پلاتین، نیکل و کبالت در پالایش مواد نفتی)، جاذب رطوبت (برای خشک کردن هوا و گازهای مانند آرگون)، عایق الکتریکی و بهتارگی به عنوان یک حامل دارو در سامانه دارورسانی استفاده کرد. ازین‌رو، تلاش‌های زیادی برای سنتز ترکیب مزوحفرهای این ماده صورت گرفته است [۳۶ تا ۴۳].

در یک رویکرد جدید، فروزنده-مهر و همکارانش [۴۴] مواد آلومینا بسیار متخلخل (HiPAs) را از ریشال^۳ های متورم CTAB یا دانه‌های ویزیکولی CTAB/دی‌کربوکسیلیک اسید (دی‌اسیدها با ۸ و ۱۰ اتم کربن) به عنوان قالب‌های جدید ستر، استفاده کردند. در غیاب دی‌کربوکسیلیک اسیدها، ریشال‌های متورم شده CTAB در محلول اتانول آبی تشکیل کرده‌های توخالی مزومتخلخل گاما آلومینا (HiPA-CT) با سطح بالا (۳۹۴ مترمربع بر گرم) و حجم منافذ بسیار بزرگ (۱/۸ سانتی‌مترمکعب بر گرم) بودند. قابل توجه است که مجموعه‌های ویزیکولی بزرگ تجمع یافته بین دی‌کربوکسیلیک

[۱۹]، کاهش اندازه ذره‌ها [۲۲]، خود حل شوندگی [۲۳]، تغییرهای pH [۲۴]، آریخت^۱ شوندگی [۲۵] [۲۵] انجام گرفته است. تغییر ساختار شیمیایی دارو و یا افزایش یک گروه قطبی به ساختار مولکول دارو در مرحله بهینه‌سازی دارو و همچنین، برقراری پیوند شیمیایی با یک بستر نانوحفره‌ای با یک حلال مناسب و انتقال و محافظت از دارو در طی رهایش، به صورت واپاپیش شده است.

در درمان یک بیماری، رساندن غلظت کافی از یک ماده مؤثره، به بافت و یا بافت‌هایی که به درمان نیازمندند، لازم و به طور معمول بروز فعالیت داروشناسی^۲ و اثرات درمانی به غلظت دارو در بافت هدف، وابسته است. از آنجا که سامانه‌های دارورسانی معمولی ماده مؤثره خود را به سرعت آزاد کنند، برای ثبتیت غلظت دارو در هدف، تجویز مکرر آن‌ها توصیه می‌شود. در این راستا، اساس طراحی سامانه‌های آهسته‌رهش بر این است که دارو به تدریج و به مقدار معینی آزاد شود، به گونه‌ای که در ابتدا مقدار اولیه‌ای از دارو آزاد شود و در پلاسمای غلظت معینی از دارو را فراهم کند. پس از آن، آزادشدن دارو برپایه یک روند مشخص به نحوی انجام گیرد که سرعت داروی آزادشده با سرعت حذف آن از بدن برابر باشد تا غلظت دارو در پلاسمای ثابت بماند. سامانه‌های آهسته‌رهش افزون بر جلوگیری از ایجاد غلظت سرمی بالای دارو، می‌توانند غلظت ماده دارویی را در خون برای مدت طولانی در سطح درمانی نگهداشته و بدین ترتیب از تکرار مصرف دارو جلوگیری کنند [۲۶ و ۲۷]. با این توصیف، اکسیدهای فلزی و نافلزی به دلیل مزایای یادشده می‌توانند با افزایش حلایت دارو در محیط‌های معده، روده و خون موجب کاهش چنده^۳ مصرفی دارو و به دنبال آن موجب افزایش اثربخشی دارو شوند. در این مقاله، برخی از گزارش‌ها در این حوزه معرفی می‌شوند.

1. Amorphous

2. Pharmacology

3. Dose

4. Micelle

5. Cetyltrimethylammonium bromide (CTAB)

در پژوهش آنها، دو ماده سطح‌فعال به‌طور هم‌زمان استفاده شدند تا اثر سینزی آنها بر آلومینا سنتزی مشاهده شود. متغیرهای سنتز مانند استفاده از دو ماده سطح‌فعال و تغییر نسبت آنها این امکان را می‌دهند که آلومینا متخلخل با انواع مساحت سطح، قطر و حجم حفره بدست آید و چنانچه به‌عنوان حامل داروی کم‌ محلول استفاده شوند، تنوع زیادی در آزادسازی دارو به وجود می‌آید. در صورت تجاری‌سازی نانودارو نیز، امکان انتخاب بهترین فرمول از بین نانوحامل‌های سنتزشده وجود دارد. همچنین، اثر مقادیر متفاوت $Bu_4N^+Br^-$ بر ریخت‌شناسی، اندازه منافذ و سطح نمونه‌ها به دقت بررسی شد. نمونه‌های به‌دست‌آمده دارای مساحت سطح بالا (تا ۴۱۵ مترمربع بر گرم)، حجم حفره بزرگ (تا ۲ سانتی‌مترمکعب بر گرم) و قطر حفره بزرگ (تا ۲۳ نانومتر) هستند. نتیجه‌ها نشان داد که حجم منافذ بالاتر (۲ سانتی‌مترمکعب بر گرم) زمانی که فقط تترابوتیل‌آمونیم برومید (یعنی NPA-100) استفاده شود نسبت به زمانی که تنها P123 یعنی NPA-0 (۰/۵ سانتی‌مترمکعب بر گرم) به‌عنوان قالب استفاده شود، به‌دست می‌آید. این بسترها جدید، برای نخستین بار، به‌عنوان یک میزبان معدنی برای مهمان با حلالیت ضعیف کورکومین (CUR[®]) (یا عصاره زردچوبی) استفاده شد. تجزیه و تحلیل XRD حالت آریخت CUR را پس از بارگیری در NPA ها تأیید کرد که نشان‌دهنده پراکندگی کامل دارو در منافذ بود. رفتار آزادسازی در شرایط آزمایشگاهی این ترکیب‌ها در مایع شبیه‌سازی شده معده^۱ (SGF^۱, pH = ۱/۲) و مایع شبیه‌سازی شده روده^۲ (SIF^۲, pH = ۶/۸) مطالعه شد. نتیجه‌ها نشان داد که آزادسازی کورکومین نامحلول زمانی که بر آلومینا با حجم منافذ فوق العاده ثبت شد به ۸۰٪ در SGF رسید. افزون‌برآن، این حامل جذب دارویی بالایی را نشان داد. قابلیت NPA-100@CUR در محافظت از سلول‌های SH-SY5Y در برابر فشار اکسایشی با

اسیدها و CTAB توده‌های نانوذره‌های آلومینا مزومتخلخل با ویژگی‌های منفذ قابل تنظیم و بی‌سابقه (مساحت سطح ۴۱۵ تا ۷۳۵ مترمربع بر گرم و حجم منافذ بی‌مانند ۱/۳۷ تا ۲/۵۷ سانتی‌مترمکعب بر گرم) تشکیل دادند که جزو بالاترین تخلخل‌ها برای آلومینا سنتزشده به روش سل-ژل است.

در سال ۲۰۰۹ شویهنا کاپور و همکارانش از بستر آلومینا تجاری برای ساخت نانوداروی ایپوپروفن استفاده کردند. آنها تأثیر عامل دارکردن با گروه‌های عاملی متفاوت را در رهایش دارو بررسی کردند [۳۷]. در سال ۲۰۱۳ سیلولیا ناستاس و همکارانش از بستر آلومینا برای ساخت نانوداروی آمیکسین استفاده کردند و تأثیر ترکیب آلومینا با سیلیکا و درصدهای متفاوت آن در رهایش دارو را بررسی کردند. نتیجه‌ها نشان داد که با بیشترشدن درصد آلومینا، رهایش دارو افزایش پیدا کرد [۳۸]. در سال ۲۰۱۶ مارگاریتا دل آرکو و همکارانش از آلومینا برای ساخت نانوداروی کتوپروفن استفاده کردند و توانستند این دارو را آهسته‌رهاش کنند. در این پژوهش آنها آلومینا با روش‌های متفاوت سنتر شد. (پیش‌ماده‌ها، حلال‌ها و مواد سطح‌فعال متفاوت) داروی کتوپروفن بر این بسترهای بارگذاری شد و رهایش این نانوداروها و داروی تنها با یکدیگر مقایسه شدند. آنها مشاهده کردند داروی خالص در همان لحظه‌های اولیه ۱۰۰٪ آزاد و به اصطلاح آزادسازی دارو به صورت انفجاری انجام می‌شود. زمانی که از بستر آلومینا استفاده شد، رهایش دارو تا ۲۰ ساعت ادامه داشت و به صورت آهسته‌رهاش در آمد که در دارورسانی اهمیت بسیار بالای دارد [۳۹].

در یک روش جدید، عالم و همکارانش [۴۰] یک سری از مواد نانوحفره‌های آلومینا (NPA)^۱ را با روش خودآرایی ناشی از تبخیر^۲ در حضور درصدهای وزنی متفاوت تترابوتیل‌آمونیم برومید (Bu₄N⁺Br⁻) و P123 (۰، ۲۴، ۳۰، ۵۶ و ۱۰۰) به‌عنوان عوامل هدایت‌کننده ساختار دوگانه، طراحی و توسعه داده شدند.

1. Nanoporous alumina

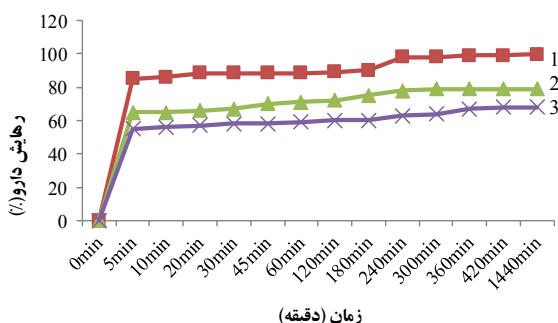
2. Evaporation-induced self-assembly method

3. Curcumin

4. Simulated gastric fluid

5. Simulated intestinal fluid

بهتر از ۵۰٪ بارگیری دارویی بود. روند حلایت در سه محلول SIF > SBF > SGF بود. انتشار کمتر دارو در SGF یک مزیت است، زیرا می‌تواند عوارض جانبی زخم معده را کاهش دهد. همه نمونه‌های فرمول بنده شده حلایت بیشتری در مایعات بدن نسبت به سلکوکسیب GamAl- خالص نشان دادند. آزمایش‌های درون‌تنی نشان داد که Gam-Al-CEL-16% و NH₂-CEL-50% به طور موثری درد را در موش‌ها در مقایسه با سایر فرمول‌ها و سلکوکسیب خالص کاهش می‌دهند. می‌توان نتیجه گرفت که آلمینیا‌های سنتزی در مقایسه با SBA و آلمینا تجاری دارای قابلیت توسعه بیشتر در آینده هستند. شکل ۲ مقایسه نمودار آزادسازی در SBF، روش مربوط به گاما-آلومینا-سلکوکسیب، مزومتخلخل آلومینا چینش یافته-سلکوکسیب و آلمینا تجاری-سلکوکسیب را نشان می‌دهد.



شکل ۲ مقایسه نمودار آزادسازی در SBF، روش مربوط مربوط به گاما-آلومینا-سلکوکسیب (۱)، مزومتخلخل آلومینا چینش یافته-سلکوکسیب (۲) و آلمینا تجاری-سلکوکسیب (۳)

در گزارشی دیگر در زمینه آلمینا و دارورسانی، عابدی و همکارانش [۴۳] در یک روش جدید برای فرمول‌بندی و انتشار داروهای کم محلول، گاما-آلومینا با تنوع معماری منافذ از یک مسیر آسان و ارزان و بدون استفاده از هیچ افودنی از جمله

سم OHDA-۶ که موجب پارکینسون می‌شود، مورد آزمایش قرار گرفت. نتیجه‌ها نشان داد که فرمول، سمیت-۶ OHDA را خنثی می‌کند و بقای سلولی را به طور قابل توجهی افزایش می‌دهد. این بدین معنی است که عصاره زردچوبه نامحلول که با فرمول جدید، حلایت و فراهم‌زیستی آن به حدود ۱۰۰٪ رسانیده باشد، می‌تواند با محافظت از سلول‌های بینیادی یادداشده موجب تأخیر در ایجاد بیماری پارکینسون در افراد آماده به این بیماری شود.

حضرایی و همکارانش [۴۱]، سلکوکسیب (CEL) به عنوان داروی بسیار کم محلول در آب، ۱۶ و ۵۰ درصد (وزنی/وزنی) را با روش آغشته‌سازی بر انواع نانوساختارهای آلمینا مانند گاما-آلومینا سنتزشده با سل-ژل (Gam-Al)، گاما-آلومینا سل-ژلی عامل دارشده (Gam-Al-NH₂)، آلمینا نانومتخلخل چینش یافته (Onp-Al) بارگیری کردند [۴۲]. سپس، نتیجه‌ها با آلمینیایی تجاری (Com-Al) و (SBA-15) مقایسه شدند. مطالعه‌های آزمایشگاهی در مایع بدن شبیه‌سازی شده (SBF^۱) مایع معده شبیه‌سازی شده (SGF) و مایع روده شبیه‌سازی شده (SIF) انجام شد. مطالعه درون‌تنی بر موش‌های صحرایی نر ویستار در شرایط استاندارد انجام شد. الگوهای XRD نشان داد که ۵۰٪ نمونه‌های بارگذاری شده حاوی سلکوکسیب توده بوده و حلایت آن در مایعات بدن کمتر از نمونه‌های بارگذاری شده ۱۶ درصدی است. در مورد نمونه‌های بارگذاری شده CELGam-Al-CEL > Onp-Al-CEL > Com-Al-CEL > SBA در حالیت سلکوکسیب در SBF در حالتی که به عنوان Gam-Al-NH₂-CEL-16٪، Onp-Al-CEL-16٪، AlCEL-16٪ فرمولبندی شد، بهترین ترتیب تا ۹۸٪ و ۸۸٪ بدست آمد که به ترتیب زیر است:



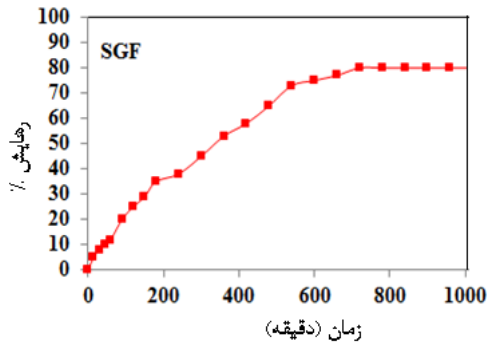
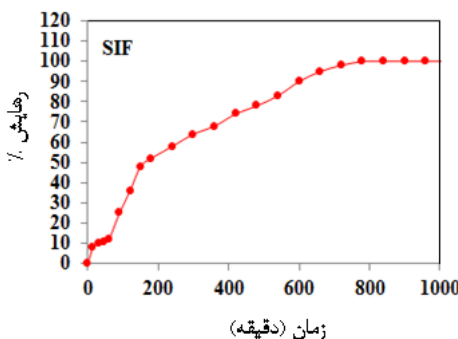
حلایت سلکوکسیب در SBF در حالتی که به عنوان Gam-Al-NH₂-CEL-16٪، Onp-Al-CEL-16٪، AlCEL-16٪ فرمولبندی شد، بهترین ترتیب تا ۹۸٪ و ۸۸٪ بدست آمد که

1. Simulated body fluid

2. Wetness

(نانوپودرهای ۵ تا ۱۰۰ نانومتر) شد. این تخلخل‌های پراکنده به عنوان بستر داروی نیفیدیپین (نامحلول در محیط‌های بدن) برای افزایش آزادسازی و حلایت این داروی نامحلول در مایع شیبیه‌سازی شده معده و مایع روده استفاده شد. این شرایط منجر به هشت نمودار انتشار متفاوت برای این داروی قلبی شد. نانوداروی AlN-Fa(500)@Nif به عنوان بهترین مورد، رهایش ۱۰۰٪ پایدار را پس از ۱۳ ساعت غوطه‌ورسانی در مایع شیبیه سازی شده روده نشان داد (شکل ۳). در نهایت، پتانسیل فرمول مذکور در محافظت از سلول‌های SH-SY5Y مورد آزمایش اکسایشی ناشی از سم پارکینسونی OHDA-۶ مورد آزمایش قرار گرفت و مشخص شد که داروی فرمول‌بندی شده، سمیت OHDA-۶ را خنثی می‌کند و باقی سلول بنیادی را به طور قابل توجهی افزایش می‌دهد.

ماده سطح‌فعال یا حلال آلی، تنها با تغییر متغیرهای سنتزی مانند نوع یون مخالف (نیترات و سولفات)، دمای کلسینه کردن (۵۰۰ و ۸۰۰ °C)، و سرعت افزودن عامل رسوب‌دهنده (۲ و ۷ ساعت یا سریع و آهسته) سنتز کردند. در این راستا، نمونه‌هایی با نام AIS, AIS-Fa(500), AlN-SI(500), AlN-Fa(500) و AlS-Fa(800), AlN-SI(800), AlN-Fa(800), SI(500) و AlS-SI(800) سنتز شدند. در این پژوهش نیز با یک روش جدید و تغییر متغیرهای یادشده، انواع تخلخل آلومینیا برای تولید انواع فرمول داروی قلبی نیفیدیپین به دست آمد. عامل‌های سنتزی منجر به آلومینیای نانوتخلخل با مساحت سطح بین ۳۴ تا ۲۰۳ مترمربع بر گرم، اندازه منفذ در گستره ۴–۴۵ نانومتر، بار پتانسیل زتا مثبت و منفی (برای ماده اولیه آلومینیم نیترات و آلومینیم سولفات) و همچنین، ریختهای ساختاری متفاوت



شکل ۳ مقایسه نمودار رهایش نانوداروی AlN-Fa(500)@Nif در دو محیط SIF و SGF

برونتن در محیط شیبیه‌سازی شده معده و روده بررسی کردند. نتیجه این بررسی بیانگر آن بود که بیشینه مقدار رهایش دارو در pH های اسیدی، ۹۰٪ است.

در کار دیگری ایثاری و همکارانش [۴۵] در یک روش جدید، به دنبال توسعه در شیمی اکسید فلز، ایبوپروفن به عنوان داروی پادالتهاب غیراستروئیدی را برای واپاپیش رهایش دارو در نانوتخلخل گاما-آلومینا متخلخل مشتق شده از سنتز سل-ژل

در پژوهشی دیگر با نانوحامل آلومینا، عالم و همکارانش [۴۶] نانوساختارهای جدید آلومینا مزوخفره در محیط اسیدی و بازی به روش خودآرایی تبخیر القایی را سنتز کردند و اثر ماده فعال سطح PS-PVP غیر یونی و CTAB کاتیونی را بر ویژگی‌های فیزیکی آلومینا سنتزی بررسی کردند. آن‌ها سپس داروی کم محلول کورکومین را بر نانوساختارهای آلومینا جدید سنتزی بارگذاری کردند و مقدار رهایش آن را به صورت

Ratineau et al. و همکارانش [۴۹] با طراحی و ساخت SBA-15 آمین دارشده با الکتروزیسی همراه با PVA (پلیوینیل الکل) و کورکومین، یک ترکیب فیتوشیمیایی مشتق شده از گیاه را برای بررسی ویژگی پادمیکروبی، پادالتهابی و ترمیم زخم‌های پوستی، تهیه کردند. SBA-15 آمین دارشده با تخلخل بالا و ویژگی‌های زیست‌سازگار، حلالیت داروی آب‌گریز کورکومین را افزایش می‌دهد و به آزادسازی آن به شیوه‌ای واپايش شده کمک می‌کند. نتیجه‌های فعالیت پادباکتریایی در برابر باکتری اشرشیاکلی گرم منفی و باسیلوس سوبتیلیس گرم مثبت، منطقه PVA مهار مشخصی را نشان می‌دهد. دارستهای نانوفیری با ۱۵ SBA عامل دارشده با آمین، سازگاری سلولی را در شرایط بازیگاهی افزایش می‌دهند. مطالعه‌های سازگاری زیستی که از تجزیه و تحلیل دورن‌تنی با موش‌های صحرابی ماده ویستار بررسی شد، ۹۸٪ انقباض زخم را با ترمیم زخم بدون اینکه جای زخم باقی بماند، برای نانودارستهای ۱۵ SBA دارای عامل آمین در عرض ۱۸ روز نشان داد. نتیجه‌های تجزیه و تحلیل آسیب‌شناسی بافتی^۱ از راه رنگ‌آمیزی هماتوکسیلین-اُلوزین و ماسون تریکروم، پوشش دوباره بافت، تشکیل بافت دانه‌بندی و کلاژن را تأیید می‌کند. بنابراین، دارست نانوالیافی ۱۵ PVA/NH₂-SBA-(5%)/Cur سطح سلولی برهمنکش دارد و چسبندگی و تکثیر سلولی را افزایش می‌دهد که روند بهبود زخم را تسریع می‌کند.

در مطالعه دیگری الکسان و همکارانش [۵۰] مواد سیلیکا مزومتخلخل عامل دارشده با آمیدوکسیم (AMI) (SBA-15 @ AMI NPs) را با روش‌های اصلاح سطح، سنتز کردند. این روش اجازه می‌دهد تا غلظت بالاتری از گروه‌های لیگاند آمیدوکسیم به سطح SBA-15 بدون تأثیر بر ریخت‌شناسی ایجاد شود. سپس بارگذاری دارو و رفتار آزادسازی پاسخگو به pH نانوذره‌های SBA-15@AMI را با داکسوسوروپین به عنوان داروی پادرسربطان مدل بررسی کردند.

با روش انتشار در محیط کاراندام‌شناختی سیرشده، پخش کردند. نتیجه‌ها نشان داد که مولکول‌های دارو به خوبی در منافذ توزیع شده‌اند. ۲۵ و ۵۰٪ وزنی ایپروپوفن برای آزمایش رهاسازی دارو تهیه شد که با روش UV-Vis بررسی شد. سینتیک انتشار در مایع شبیه‌سازی شده خون (SBF)، مایع شبیه‌سازی شده روده (SIF) و مایع شبیه‌سازی شده معده (SGF) به دست آمد. حلالیت دارو پس از ۴ ساعت زمان بارگذاری برای γ -Al-IBU25 و γ -Al-IBU50) به ترتیب به ۹۰ و ۸۴٪ رسید. این نتیجه‌ها با آلومینا تجاری گزارش شده با مقدار کم رهاسازی ۲۵٪ قابل مقایسه است. درصد آزادسازی دارو برای سه محیط به ترتیب بود $\text{SBF} > \text{SIF} > \text{SGF}$.

دارورسانی بر پایه نانوذره‌های سیلیکا دو نوع ساختار متفاوت مزومتخلخل‌های سیلیکا شش گوشه‌ای و مکعبی شناخته شده و معروف وجود دارد. گونه اول MCM-41 به آسانی با مواد سطح‌فعال چهارتایی آمونیم دو خصلتی به عنوان قالب سنتز می‌شوند، ولی سنتز مواد MCM-45 [۴۵] باید تحت شرایط مشخص مانند واکنش در فشار و دمای بالا و نیز غلظت بالای قالب صورت پذیرد. مکعب‌های MCM-41 داری منافذ قفس‌مانند با یک کانال سه بعدی هستند که واکنش مولکول‌ها و انتقال آن‌ها را آسان می‌کنند [۴۶ و ۴۷]. گونه دیگر ساختار مزومتخلخل سیلیکا SBA-15 نام دارد که مانند MCM-41 ساختارهای شش گوشه‌ای را با استوانه‌های موازی کنار هم ایجاد می‌کند [۴۸]. قطر حفره‌های بزرگتر (بزرگ‌تر از ۳ نانومتر) در مقایسه با MCM-41 (کوچک‌تر از ۳ نانومتر) دارد و به همین نسبت حجم حفره‌های MCM-41 کوچک‌تر است (MCM-41 برابر با ۶۸۴۰ سانتی‌متر مکعب بر گرم و برای SBA-15 برابر با ۷۰۷۰ سانتی‌متر مکعب بر گرم). MCM-41 مساحت سطح بیشتری (۱۰۰۰ مترمربع بر گرم) نسبت به SBA-15 (۵۷۰ متر مربع بر گرم) دارد [۴۹].

TiO_2 دارورسانی برایه نانوذره‌های

تیتانیم دی‌اکسید (TiO_2) در خانواده اکسیدهای فلزات انتقالی جای دارد. در آغاز قرن بیستم، تولید صنعتی رنگدانه‌های سفید به جای اکسیدهای سمی سرب، با تیتانیم دی‌اکسید شروع شد. مصرف TiO_2 به عنوان رنگدانه در سال‌های اخیر در صنایعی چون منسوجات، تغذیه، چرم، داروسازی (پوشش قرص‌ها، جذب‌کننده‌های UV در کرم‌های پادآفتاب، حامل دارو و تولیدات آرایشی) افزایش یافته است. تیتانیا به دلیل پایداری شیمیایی، سمی‌بودن، قیمت ارزان، زیست‌سازگاری و ویژگی فیزیکی، نوری و الکتریکی آن، جذابیت‌های بسیاری دارد [۱۰ تا ۱۳]. این ماده به دلیل ضریب شکست بالا به عنوان پوشش پادانعکاس در سلول‌های خورشیدی سیلیکونی و بسیاری از ادوات نوری لایه نازک کاربرد دارد. همچنین، به عنوان حسگر گاز استفاده شده است و در تعیین غلظت اکسیژن و CO در دماهای بالا به کار می‌رود [۱۱]. تیتانیا به دلیل زیست‌سازگاری با بدن انسان، یک ماده پزشکی (جایگزین استخوان و تقویت‌کننده مکانیکی) نیز به حساب می‌آید [۱۲ و ۱۳]. این ماده در واکنش‌های کاتالیستی به عنوان تسریع‌کننده، و نیز محل فعال کاتالیستی کاربرد دارد [۱۴ و ۱۵].

ام. سینیورتو و همکارانش در سال ۲۰۱۱ نانوپودرهای تجاری TiO_2 و یک نمونه مزومتخلخل از TiO_2 سنتزی را به عنوان حامل برای رهایش داروی ایبوپرو芬 در محیط شبیه‌سازی بدن بررسی کردند. نتیجه‌ها حاکی از آن بود که TiO_2 سنتزی به علت قطر حفره کوچکتر نسبت به نمونه‌های تجاری سرعت رهایش آهسته‌تری را نشان می‌دهد. مقدار دارو رهایش یافته در مدت ۵۰ ساعت، ۶۷ درصد گزارش شد [۱۶]. لوپزا و همکارانش در سال ۲۰۱۱ نانولوله تیتانیا و مزومتخلخل سیلیکا را به عنوان حامل با داروی فنی‌توئین بارگذاری و رهایش دارو را در محیط شبیه‌سازی بدن بررسی کردند. نشان رهایش فنی‌توئین در طی ۱۰ ساعت اولیه از نمونه نانولوله ۲۰٪ بود ولی پس از آن و تا طی ۹۰ ساعت رهایش دارو با سرعت کمتری

زیست‌سازگاری و رفتار جذب سلولی با استفاده از رده سلولی MCF-7 مطالعه شد. بنابراین، آن‌ها گزارش کردند که نانو ذره‌های SBA-15@AMI آماده شده را می‌توان به عنوان برنامه‌های کاربردی دارورسانی پاسخ‌گو به pH در درمان سرطان استفاده کرد.

در کار دیگری گالهانو و همکارانش [۵۱] نانوحامل‌های مزومتخلخل مبتنی بر سیلیکا، MNs و MNs@EPI را سنتز کرده و تحت بارگذاری منفرد و/یا دوگانه پادزیست‌ها (افلوکساسین-OFLO) قرار دادند. داروهای پادسلطان (دوکسوروپیسین-DOX؛ ابی روپیسین-EPI)، و فعالیت پادبacterیایی آن‌ها بر علیه باکتری‌های اشريشیا کلی، استافیلوکوکوس اورئوس، استافیلوکوکوس اورئوس مقاوم به متی‌سیلین (MRSA)، انتروکوکوس فکالیس و سودوموناس آثروزینوزا بررسی شدند. فرمول‌بندی‌های حاوی افلوکساسین MNs-DOX + MNs-OFLO، MNs-EPI + OFLO و MNs@EPI + OFLO فعالیت پادبacterیایی را در همه سویه‌های باکتریایی آزمایش شده نشان دادند.

در پژوهش دیگری عطیاه و همکارانش [۵۲]، نانوذره‌های سیلیکا مزومتخلخل (MSNs) از نوع ۴۱ MCM-41 را ساختند و با Fe_3O_4 برای بارگیری کورکومین (CUR) $CUR@Fe3O4/MCM-41$ شدند. این متغیرها چند حامل، pH، زمان تماس و غلظت اولیه برای تعیین تأثیر متغیرهای متفاوت بر بازده بار CUR انجام شدند. این متغیرها چند حامل، pH، زمان تماس و غلظت اولیه CUR بودند. بالاترین بازده بارگذاری دارو (%DL) به ترتیب ۱۵/۷۸ و ۲۲/۹۸ بود. برایه پژوهش‌ها، بیشترین رهایش برای Fe3O4/MCM41 و MCM-41 ممکن است به ترتیب ۷۶/۱ و ۱۹/۲۵٪ پس از ۷۲ ساعت باشد. در این بازه زمانی، داده‌های رهاسازی دارو با مدل سینتیکی ویمال با $R^2 = ۰/۹۴۴$ و $Fe_3O_4/MCM-41$ به ترتیب برای MCM-41 و مناسب شدند.

در ادامه، حبیبی و همکارانش [۶۳] ذرهای مزومتخلخل $TiO_2\text{-MgO}$ را با روش خودآرایی تبخیر القایی با دو هم بسپار متفاوت پلی‌وینیل پیریدین-پلی‌استایرن و پلی‌اتیلن گلیکول-پلی‌پروپیلن گلیکول-پلی‌اتیلن گلیکول به عنوان جهت‌دهنده ساختار سنتز کردند. سپس داروی سیمواستاتین بر نمونه سنتز شده بارگذاری و رهایش آن در محلول شبیه‌سازی محیط روده و معده به مدت ۲۰ ساعت رسید و به ترتیب ۱۰۰ و٪ ۷۰ رهایش گزارش کردند.

دارورسانی برایه نانوذره‌های MgO

منیزیم اکسید (MgO) یک باز ضعیف که بیشترین pH آن برابر ۱۰ است، در بسیاری از فرایندهای تصفیه آب که با ترکیب‌های قلیایی صورت می‌پذیرد به صورت بسیار کارآمد شرکت می‌کند [۱۶]. افزون‌براین، منیزیم اکسید دارای کمینه اثرات زیست‌محیطی است و برای زندگی گیاهان، حیوانات و انسان‌ها لازم است. به تازگی کارهای بسیاری بر سنتز ساختارهای جدید نمک‌های منیزیمی و منیزیم اکسید متتمرکز شده‌اند و نانوذره‌ها [۱۷]، نانومیله‌ها [۱۸]، نانولوله‌ها [۱۹]، نانوصفحه‌ها [۲۰]، نانومکعب‌ها [۲۱]، نانوشبه‌گل‌ها [۲۲] و غیره را سنتز کرده‌اند. کاربردهای فراوانی برای نانوساختار منیزیم اکسید وجود دارد. برای مثال، می‌توان به ساختارهای منیزیم اکسید به عنوان کاتالیست [۲۳]، بستر کاتالیست، جاذب، حسگر [۲۴ تا ۲۶]، فوتولومینسانس [۲۷]، عامل پادباکتری [۲۸]، قالب برای سنتز سایر نانومواد، بهبوددهنده ویژگی چندسازه‌ها [۲۹] و [۳۰]، دارورسانی [۳۱] و [۳۲] و بهبوددهنده ویژگی الکترونیکی تابلوهای نمایشگر پلاسمای جریان متناوب، اشاره کرد [۳۳]. در سال ۲۰۱۶ ساماندان و همکارانش از بستر منیزیم اکسید برای ساخت نانوداروی پادرسطلان دوکسوروپیسین استفاده کردند و سینتیک آن نیز بررسی شد [۸۰]. در سال ۲۰۱۲ الکسا و همکارانش از بسترهای منیزیم اکسید و SBA به صورت ترکیبی برای ساخت نانوداروهای پادرسطلان استفاده کردند. در این تحقیق از دو داروی فشار خون

ادامه یافت، ولی رهایش فنی تؤین از مزومتخلخل سیلیکا طی ۹۰ ساعت به ۱۶٪ رسید که بیانگر کنترشدن رهایش از مزومتخلخل سیلیکا است. دلیل این نتیجه را می‌توان مربوط به مساحت سطح بیشتر و بهتر پخش شدن دارو روی سطح سیلیکا نسبت به تیتانیا دانست [۶۱].

حبیبی و همکارانش [۶۲] در یک روش جدید، مجموعه‌ای از سامانه‌های نانومتخلخل $TiO_2\text{-SiO}_2$ ($n=1\text{-}5$) با نسبت‌های متفاوت Ti/Si از طریق فرایند آب‌گرمایی مرحله‌ای در حضور P123 و تترابوتیل‌آمونیم برومید^۱ (TBAB) به عنوان قالب دو عاملی سنتز کردند. سپس، سیمواستاتین (SV) به عنوان یک داروی مدل به بستر مزومتخلخل آماده شده (NTS@SV)، افزوده شد. مشخص شد که تغییر درصد Ti و حضور هر دو افزوده شد. تا ۱۲ سانتی‌مترمکعب بر گرم، مساحت سطح بالا (۱۸۷ تا ۶۵۶ مترمربع بر گرم)، طیف گستره‌ای از اندازه منافذ (۵ تا ۱۳ نانومتر) و بار پتانسیل سطح زتا در گستره (۱۶-۲۴ میلی‌ولت) نمونه‌های تهیه شده می‌شود. این تنوع فرسته‌های گستره‌ای را برای NTS@SV جدید ایجاد کرد تا نمودارهای آزادسازی داروی گستره‌ای را در مایع معده شبیه‌سازی شده = $SIF = 6,8 \text{ pH} = 1/2, SGF = 1/2$ و مایع روده شبیه‌سازی شده = $SIF = 18 \text{ pH} = 1/2$ در دمای ۳۷ °C نشان دهد. رهاسازی دارو در شرایط آزمایشگاهی نشان داد که نمونه تهیه شده در حضور هر دو TBAB و P123 با نسبت Ti/Si برابر با ۱، بیشینه آزادسازی SV (۱۸ میلی‌ولت) را در محیط‌های SIF و SGF به ترتیب برابر با ۷۷ و ۱۰۰٪ نشان می‌دهد. زنده‌ماندن سلول SH-SY5Y در برابر پس‌زمینه سمی سم پارکینسونی OHDA-۶ پس از قرارگرفتن سلول در معرض NTS3@SV آزمایش شد. نتیجه‌ها نشان داد قرارگرفتن سلول در معرض NTS3@SV سمی‌بودن OHDA-۶ را خنثی می‌کند و بقای سلولی را به طور قابل توجهی افزایش می‌دهد.

1. Tetrabutylammonium bromide (TBAB)

MgO_2 با ۱۰۰٪ رهایش در ۱۵ ساعت در محیط شبیه سازی معده و روود بود.

نتیجه گیری

ترکیب های معدنی از جمله اکسیدهای فلزی و نافلزی که در چند سال اخیر به طور جدی در حوزه دارو رسانی مورد توجه قرار گرفته اند این قابلیت بزرگ را دارند تا جایگزین ترکیبات بسیار سنتی باشند، زیرا این ترکیب ها مزایای زیادی مانند متخلخل بودن، ارزان بودن، قابلیت تبدیل به مقیاس نانو را دارند. زیست ساز گاربودن و قابلیت تبدیل به مقیاس نانو ترکیب های اکسیدهای متفاوتی مانند اکسیدهای آلومینیم، سیلیکون، تیانیم، منیزیم و غیره و همچنین اکسیدهای مختلط آن ها به عنوان نانو حامل داروهای پادرسلاط، پادالتهاب، داروهای قلبی و غیره مورد استفاده قرار گرفته اند و نوید نسل جدیدی از نانو حامل ها بر پایه ترکیب های معدنی برای بهبود ویژگی های داروها را خواهند داد.

(کاپتوپریل و الیسکرین) استفاده شد و رهایش آن در بستر تنها SBA-۱۵، ترکیب دو بستر (منیزیم اکسید و SBA-۱۵) و داروی تجاری بررسی شد. رهایش این داروها در محیط معده با هم مقایسه و مشخص شد که ترکیب دو بستر بسیار مناسب برای رهایش دارو است و رهایش دارو به ۹۰٪ رسیده است [۸۲]. الکسا و همکارانش در سال ۲۰۱۲ SBA-۱۵ و MgO/SBA-۱۵ به عنوان حامل برای رهایش دارو کاپتوپریل بررسی شدند. نتیجه ها نشان داد که سرعت رهایش در SBA-۱۵ اصلاح شده با منیزیم اکسید نسبت به SBA-۱۵ کاهش می باید و مقدار رهایش آن به $\frac{۸۹}{۳}\%$ در مدت ۳۰ ساعت می رسد [۸۲].

در پژوهشی دیگر، عابدی و همکارانش [۸۳] نانو-ماکرو منیزیم اکسید را با نسبت های متفاوت اسید آمینه آرژنین و اوره با ساختارهای متفاوت مکعبی و کروی با روش آب گرمایی سنتز و کلسینه کردند و نانوذراتی بین ۴۲ تا ۸۰ نانومتر به دست آوردن. سپس دو نمونه از MgO و MgO_2 به دست آمده را به عنوان حامل داروی نامحلول نیفیدیپین برای افزایش حلایت آن به کار برdenد. بهترین جواب به دست آمده برای حامل

مراجع

- [1] Ku, M.S.; AAPS J. 10, 208–212, 2008.
- [2] Ku, M.S.; Dulin, W.; Pharm. Dev. Technol. 17, 285–302, 2012.
- [3] Tarlani, A.; Najjarzadeh, Z.; Mohammadian, N.; Darhkosh, F.; "Nanoparticles and Drug Delivery: Methods and Applications", Farmanesh, Tehran, 1395.
- [4] Gandhi, R.; Sharma, B.K.; Al-Mdallal, Q.M.; Mittal, H.V.R.; Int. J. Thermofluids. 18, 100336, 2023.
- [5] Vahabi, L.; Ranjbar, P.R.; Davar, F.; J. Drug Deliv. Sci. Technol. 80, 104144, 2023.
- [6] Uribe-Robles, M.; Ortiz-Islas, E.; Rodriguez-Perez, E.; Valverde, F.F.; T. Lim, T.; Martinez-Morales, A.A.; Biomater. Adv. 213442, 2023.
- [7] Li, J.; Yang, N.; Yang, M.; Lu, C.; Xie, M.; Colloids Surfaces B Biointerfaces. 213, 112389, 2022.
- [8] Amidon, G.L.; Lennernäs, H.; Shah, V.P.; Crison, J.R.; Pharm. Res. 12, 413–420, 1995.
- [9] Kawabata, Y.; Wada, K.; Nakatani, M.; Yamada, S.; S. Onoue, S.; Int. J. Pharm. 420, 1–10, 2011.
- [10] Fasano, A.; Trends Biotechnol. 16, 152–157, 1998.
- [11] Gu, S.H.; Nicolas, V.; Lalis, A.; Sathirapongsasuti, N.; R. Yanagihara, R.; Infect. Genet. Evol. 20, 118–123, 2013.
- [12] Rasmussen, J.W.; Martinez, E.; Louka, P.; Wingett, D.G.; Expert Opin. Drug Deliv. 7, 1063–1077, 2010.
- [13] T. López, T.; E. Ortiz, E.; Meza,D.;

- Basaldella, E.; X. Bokhimi, X.; A. Sepúlveda, A.; Rodríguez, F.; Ruiz, J.; Maga, C.; Material chemistry and physics 126, 922–929, 2011.
- [14] Carriazo, D.; Del Arco, M.; Martín, C.; Ramos, C.; Rives, V.; Microporous Mesoporous Mater. 130, 229–238, 2010.
- [15] Zhu, J.; Liao, L.; Bian, X.; Kong, J.; Yang, P.; Liu, B.; Small 8, 2715–2720, 2012.
- [16] Wang, T.; Jiang, H.; Wan, L.; Zhao, Q.; Jiang, T.; Wang, B.; Wang, S.; Acta Biomater. 13, 354–363, 2015.
- [17] Swath,T.; Krishna M, V.; Kumar. D, S.; Krishnaveni, J.; J. Pharm. Sci. Innov. 2, 36–40, 2013.
- [18] Lipinski, C.A.; J. Pharmacol. Toxicol. Methods 44, 235–249, 2000.
- [19] Hörter, D.; Dressman, J.B.; Adv. Drug Deliv. Rev. 46, 75–87, 2001.
- [20] Markovic, M.; Ben-Shabat, S.; Dahan, A.; Pharmaceutics 12, 1031, 2020.
- [21] Seedher, N.; Bhatia, S.; Aaps Pharmscitech 4, 36–44, 2003.
- [22] Xia, D.; Cui, F.; Piao, H.; Cun,D.; Piao, H.; Jiang, Y.; Ouyang, M.; Quan, P.; Pharm. Res. 27, 1965–1976, 2010.
- [23] Ren, Y.; Feng, Y.; Xu, K.; Yue, S.; Yang, T.; Nie, K.; Xu, M.; Xu, H.; Xiong, X.; Körte, F.; Front. Pharmacol. 12, 721988, 2021.
- [24] Tran, P.H.-L.; Tran, T.T.-D.; Lee, K.-H.; Kim, D.-J.; Lee, B.-J.; Expert Opin. Drug Deliv. 7, 647–661, 2010.
- [25] Singh, M.; Kongsted, J.; Zhan, P.; Banerjee, U.C.; Poongavanam, V.; Murugan, N.A.; "Differential Molecular Interactions of Telmisartan: Molecular-Level Insights from Spectral and Computational Studies", ChemRxiv, Cambridge, 2022.
- [26] Natarajan, J.V.; Nugraha, C.; J.; Ng, X.W.; Venkatraman, S.; J. Control. Release 193, 122–138, 2014.
- [27] Wan, M.M.; Yang, J.Y.; Qiu, Y.; Zhou, Y.; Guan, C.X.; Hou, Q.; Lin, W.G.; Zhu, J.H.; ACS Appl. Mater. Interfaces. 4, 4113–4122, 2012.
- [28] Busca G.; Advances in catalysis 57, 319-404, 2014.
- [29] Tarlani, A.; Abedini, M.; Nemati, A.; Khabaz, M.; Amini, M.M.; J. Colloid and Interface Sci. 303, 32–38, 2006.
- [30] Tarlani, A.; Abedini, M.; Khabaz, M.; Amini, M.M.; J. Colloid and Interface Sci. 292, 486–492, 2005.
- [31] Song, L.; Bin Park, S.; Nanosci Nanotechnol. 10, 122-129, 2010.
- [32] Meng, X.; Duan, L.; Qin, H.; Xie, X.; Umar A.; Wang, H.; Wang, Q.; Journal of nanoscince and nanotechnology 14, 7340–7344, 2014.
- [33] Farahmandjou, M.; olabiyan, N.; Journal of ceramic Processing Research 16,237–240, 2015.
- [34] Sifontes, A.B.; Gutierrez, B.; Mónaco, A.; Yanez, A.; Díaz, Y.; Méndez, F.J.; Llovera, L.; Cañizales, E.; Brito, J.L.; Biotechnol. Reports. 4, 21–29, 2014.
- [35] Tarlani, A.; Joharian, M.; Narimani, K.; Muzart, J.; Fallah, M.; J. Solid State Chem. 203, 255–259, 2013.
- [36] Frozandehmehr, E.; Tarlani, A.; Farhadi, S.; Langmuir 35, 11188–11199, 2019.
- [37] Das, S.K.; Kapoor, S.; Yamada, H.; Bhattacharyya, A.J.; Microporous Mesoporous Mater. 118, 267–272, 2009.
- [38] S. Nastase, S.; Bajenaru, L.; Matei, C.; Mitran, R.A.; Berger, D.; Microporous Mesoporous Mater. 182, 32–39. 2013.
- [39] San Roman, S.; Gullón, j.; Del Arco, M.; C. Martín, C.; J. Pharm. Sci. 105, 2146–2154, 2016.
- [40] Alem, M.; Tarlani, A.; Aghabozorg, H.R.; RSC Adv. 7, 38935–38944, 2017.
- [41] Khazraei, A.; Tarlani, A.; Naderi, N.; Muzart, J.; Abdulhameed, Z.; Eslami-Moghadam, M.; Appl. Surf. Sci. 422, 873–882, 2017.
- [42] Tarlani, A.; Zarabadi, M.P.; Solid State Sci. 16, 76–80, 2013.
- [43] Rad, B.A.; Tarlani, A.; Jameh-Bozorghi, S.; Niazi, A.; J. Sol-Gel Sci. Technol. 83, 627–639, 2017.
- [44] Alem, A.; Tarlani, A.; Aghabozorg, H.R.; Khosravi, M.; J. Applied Research in Chemistry 13(1), 49-59, 2019.
- [45] A. Tarlani, A.; Isari, M.; Khazraei, A.;

- Nanomedicine Res. J. 2, 28–35, 2017.
- [46] Kaneda, M.; Tsubakiyama, T.; Carlsson, A.; Sakamoto, Y.; J. Phys. Chem. B 106, 1256–1266, 2002.
- [47] Jabbari-hichri, A.; Bennici, S.; Auroux, A.; Sol. Energy Mater. Sol. Cells. 149, 232–241, 2016.
- [48] Rajabi, F.; Fayyaz, F.; Luque, R.; Microporous Mesoporous Mater. 253, 64–70, 2017.
- [49] Rathinavel, S.; Indrakumar, J.; Korrapati, P.S.; Dharmalingam, S.; Colloids Surfaces A Physicochem. Eng. Asp. 637, 128185, 2022.
- [50] Ulagesan, S.; Santhamoorthy, M.; Phan, T.T.V.; Alagumalai, K.; Thirupathi, K.; Kim, S.-C.; Nam, T.-J.; Choi, Y.-H.; Inorg. Chem. Commun. 146, 110132, 2022.
- [51] Galhano, J.; Marcelo, G.A.; Duarte, M.P.; Oliveira, E.; Bioorg. Chem. 118, 105470, 2022.
- [52] Atiyah, N.A.; Atiya, M.A.; Albayati, T.M.; Eng. Technol. J. 40, 472–483, 2022.
- [53] Jiang, H.; Wang, T.; Wang, L.; Sun, C.; Jiang, T.; Cheng, G.; Wang, S.; Microporous Mesoporous Mater. 153, 124–130, 2012.
- [54] Signoretto, M.; Ghedini, E.; Nichele, V.; Pinna, F.; Crocellà, V.; Cerrato, G.; Microporous Mesoporous Mater. 139, 189–196, 2011.
- [55] Dinh, C.; Nguyen, T.; Kleitz, F.; Do, T.; ACS Nano. 3, 3737–3743, 2009.
- [56] Tiainen, H.; Wiedmer, D.; Haugen, H.J.; J. Eur. Ceram. Soc. 33, 15–24, 2013.
- [57] Wang, Z.; Xie, C.; Luo, F.; Li, P.; Xiao, X.; Appl. Surf. Sci. 324, 621–626, 2015.
- [58] Shin, H.S.; Jo, C.; Ko, S.H.; Ryoo, R.; Microporous Mesoporous Mater. 212, 117–124, 2015.
- [59] Hattori, M.; Kamata, K.; Hara, M.; Phys. Chem. Chem. Phys. 19, 3688–3693, 2017.
- [60] Signoretto, M.; Ghedini, E.; Nichele, V.; Pinna, F.; Crocellà, V.; Cerrato, G.; Microporous Mesoporous Mater. 139, 189–196, 2011.
- [61] Lopez, T.; Ortiz, E.; Meza, D.; Basaldella, E.; Bokhimi, a.; Magana, C.; Sepulveda, A.; Rodriguez, F.; Ruiz, j.; Mater. Chem. Phys. 126, 922–929, 2011.
- [62] Habibi, M.; Aghabozorg, H.R.; Tarlani, A.; Mater. Chem. Phys. 212, 308–317, 2018.
- [63] Habibi, M.; Aghabozorg, H.R.; Tarlani, A.; Abedi, A.; J. Applied Research in Chemistry 12(2), 131–140, 2018.
- [64] Chimenos, J.; Fernández, A.; Villalba, G.; Segarra, M.; Urruticoechea, A.; B. Artaza, B.; F. Espiell, F.; Water Res. 37, 1601–1607, 2003.
- [65] Roggenbuck, J.; Tiemann, M.; Am. Chem. Soc. 127, 1096–1097, 2005.
- [66] Hadia, N.M.A.; Mohamed, H.A.H.; Mater. Sci. Semicond. Process 29, 238–244, 2015.
- [67] Bhagiyalakshmi, M.; Hemalatha, P.; Ganesh, M.; Mei, P.M.; Jang, H.T.; Fuel 90, 1662–1667, 2011.
- [68] Feng, J.; Zou, L.; Wang, Y.; Li, B.; He, X.; Fan, Z.; Ren, Y.; Lv, Y.; Zhang, M.; Chen, D.; J. Colloid Interface Sci. 438, 259–267, 2015.
- [69] Mortazavi, G.; Mobasherpour, I.; Rad, E.M.; J. Ceram. Process. Res. 15, 88–92, 2014.
- [70] Cao, C.Y.; Qu, J.; Wei, F.; Liu, H.; Song, W.G.; ACS Appl. Mater. Interfaces 4, 4283–4287, 2012.
- [71] Antunes, W.M.; Veloso, C.D.; Henriques, C.A.; Catal. Today 133(135), 548–554, 2008.
- [72] Zhao, J.; Mu, F.; Qin, L.; Jia, X.; Yang, C.; Mater. Chem. Phys. 166, 176–181, 2015.
- [73] Wu, C.C.; Cao, X.; Wen, Q.; Wang, Z.; Gao, Q.; Zhu, H.; Talanta, 79, 1223–1227, 2009.
- [74] Umar, A.; Rahman, M.M.; Hahn, Y.; Electrochim. Commun. 11, 1353–1357, 2009.
- [75] Kim, H.W.; Shim, S.H.; Lee, J.W.; Kebede, M.A.; Yang, H.-H.; Kong, M.H.; Choi, S.M.; Yang, J.-H.; Bang, H.-J.; Kim, H.Y.; Surface and Coating Technology, 202(11), 2503–2508, 2008.
- [76] Stoimenov, P.K.; Klinger, R.L.; Marchin, G.L.; Klabunde, K.J.; Langmuir 18, 6679–6686, 2002.
- [77] Ariga, K.; Kawakami, K.; Ebara, M.; Kotsuchibashi, Y.; Ji, Q.; Hill, J.P.; New J. Chem. 38, 5149–5163, 2014.
- [78] Feinle, A.; Heugenhauer, A.; Hüsing, N.; J. Supercrit. Fluids. 106, 133–139, 2015.
- [79] Alexa, I.F.; Ignat, M.; Popovici, R.F.; Timpu, D.; Popovici, E.; Int. J. Pharm. 436, 111–119,

طرلانی و همکاران

- 2012.
- [80] Somanathan, T.; Krishna, V.M.; Saravanan, V.; Kumar, Raj.; Kumar, Ran.; Journal of Nanoscience and Nanotechnology 16(9), 9421–9431, 2016.
- [81] Choi, J.S.; Moon, S.H.; Kim, J.H. Kim, G.H.; Curr. Appl. Phys. 10, 1378–1382, 2010.
- [82] Florentina, I.; Ignat, M.; Florentina, R.; Timpu, D.; Popovici, E.; Int. J. Pharm. 436, 111–119, 2012.
- [83] Abedi, B.; Tarlani, A.; Jamebozorgi, S.; Niazi, A.; J. Applied Research in Chemistry 11(4), 29–37, 2018.